

مطالعه اثر یاوری نانوذرات طلا بر ایمنی زایی

ناحیه اتصالی نورو توکسین بوتولینوم تیپ E در موش

امیر ریبعی روذری^۱، فیروز ابراهیمی^{*۲}، محمدعلی عارف پور ترابی^۳

۱- کارشناسی ارشد، ۲- استادیار و ۳- کارشناس ارشد دانشگاه جامع امام حسین (ع)

(دریافت: ۱۳۹۱/۰۸/۳۰، پذیرش: ۱۳۹۲/۰۶/۲۰)

چکیده

بوتولیسم یک سندروم خطرناک است که توسط نورو توکسین های بوتولینوم تولید شده از باکتری های جنس کلستریدیا (سروتیپ های A تا G) ایجاد می شود. مطالعات زیادی نشان می دهد که ناحیه اتصالی نورو توکسین های بوتولینوم در تمام تیپ ها (A-G)، در ایجاد مصنونیت، از اهمیت ویژه ای برخوردار بوده و امروزه این ناحیه را به عنوان کاندید واکسن مفرغی می نمایند. در این تحقیق، برای بررسی اثر یاوری نانوذره طلا بر روی یک کاندید واکسن مورد نظر، از فرم نوترکیب ناحیه اتصالی نورو توکسین بوتولینوم تیپ E استفاده شد. در مطالعات واکسن، یکی از مشکلات، دسترسی به یک یاور کارا و زیست سازگار و با اثرات جانبی کمتر می باشد. جهت توسعه یاور جدید، خاصیت یاوری نانوذرات طلا با یاور فرونده مقایسه شد. بدین منظور، آنتی ژن نوترکیب نورو توکسین بوتولینوم تیپ E متصل به نانوذرات طلا تهیی و چهار بار متوالی به موش ها تزریق شد. حیوانات به دو گروه تقسیم شدند که به یک گروه آنتی ژن با یاور فرونده و به گروه دیگر آنتی ژن - نانوذره طلا تزریق شد. سپس عیار آنتی بادی تولید شده در دو گروه باهم مقایسه شدند. در نهایت، حیوانات ایمن شده، با استفاده از نورو توکسین فعلی تیپ E مورد چالش قرار گرفتند. با توجه به نتایج القای آنتی بادی، چالش و زیست سازگاری نانوذرات طلا، می توان در مطالعات آینده آن را به عنوان یاور جدید معرفی نمود.

کلید واژه ها: یاور، ناحیه اتصالی نورو توکسین بوتولینوم تیپ E، نانوذرات طلا، بوتولیسم، پروتئین نوترکیب.

Study of Adjuvant Capability of the Gold Nanoparticles on the Immunity of Botulinum Neurotoxin Serotype E in Mouse

A. Rabiee Rudbari, F. Ebrahimi*, M. A. Arefpour Torabi

Imam Hossein University

(Received: 20/11/2012; Accepted: 11/09/2013)

Abstract

Botulism is a dangerous neuroparalytic syndrome caused by Clostridium botulinum neurotoxins (serotypes A-G). The more studies have shown that the binding domains in all neurotoxin types (A-G) have a great importance in immunity against the botulism syndrome and nowadays, this domain has been introduced as a vaccine candidate. In this study, for evaluation of adjuvant effect of Gold Nanoparticles (GNPs) on a vaccine candidate, the botulinum neurotoxin type E binding domain was used. In vaccine studies one of the problems is the presence of a potent and biocompatible adjuvant with fewer side effects. For developing of new adjuvants, the adjuvant properties of GNPs to Freund's adjuvant (FA) was compared. A recombinant binding domain BoNT/E conjugated with GNPs was prepared and injected four times. The animals were enrolled in two groups, one of which was injected with FA and the other one with GNP-Ag. Then, the antibody titers were compared with each other. Ultimately, the mice were challenged using active BoNT/E. The results showed that the immunized mice with GNP-Ag and Ag-FA produced high titers of antibody and presented immune response comparable with together. Regarding antibody induction, challenging results and the GNPs biocompatibility, this kind of nanoparticles might be introduced as a candidate new adjuvant in the future studies.

Keywords: Adjuvant, BoNT/E, Gold Nanoparticles, Botulism, Recombinant Binding Domain.

*Corresponding Author E-mail: febrhimi@ihu.ac.ir

Passive Defence Sci. & Tech., 2013, 2, 87-92

از طرفی، مدت زیادی است که میکرو و نانو ذرات به عنوان تحويل دهنده های دارویی استفاده می شوند و به تازگی به عنوان سیستم های تحولی پیشدها و آنتیزن ها کاربرد پیدا کرده اند. این ذره ها می توانند هم با واسطه تحریک اینمی مستقیم سلول های عرضه کننده آنتیزن و یا تحول آنتیزن به ساختارهای خاص سلولی و تسهیل جذب آنتیزن و پردازش آن، پاسخ های اینمی قوی ایجاد کنند [۹]. نانوذرات زیست تخریب پذیر مانند لاتکس، پلی استرین، طلا، سیلیکا و غیره، به عنوان کاندید یاور و اکسن مطالعه شده اند [۱۰]. نانوذرات طلا که معمولاً طلای کلوئیدی نامیده می شوند، ویژگی هایی دارند که آنها را برای کاربردهای پزشکی و زیست شناسی بسیار مناسب می نمایند. از جمله آنها می توان به سنتز آسان نانوذرات طلا، پایداری زیاد، توانایی اتصال انتخابی با بیومولکول های تشخیصی مثل پروتئین ها، پپتیدها و اسیدهای نوکلئیک [۱۱-۱۳]، ویژگی های نوری منحصر به فرد و زیست سازگاری آن اشاره کرد. از آنجایی که اتصال یک آنتیزن به نانوذرات طلا، مکانیسم ارائه و پردازش آنتیزن و دیگر ویژگی های ایمونوژنیک را می تواند بهبود بخشد، به تازگی کاربرد جدیدی برای نانوذرات طلا پیشنهاد شده و آن ویژگی یاوری است. مطالعات در کاربرد یاوری نانوذرات طلا در ایران انجام نشده و در سطح بین المللی، به تعداد محدودی تحقیق با آنتیزن های متغیر و نانوذرات طلا با اندازه های دیگر خلاصه می شود [۱۴-۱۶]. تاکنون هیچ گونه گزارشی مبنی بر اتصال نورو توکسین های بوتولینوم به نانوذرات طلا و مطالعه ایمونولوژیکی کونزوگه حاصل، دیده نشده است. بنابراین در تحقیق حاضر، ابتدا ناحیه اتصالی نورو توکسین بوتولینوم تیپ E به نانو ذره طلای فعال شده متصل شد. سپس توان اینمی زایی کونزوگه حاصل با توجه به اثر یاوری نانوذرات طلا در مقایسه با یاوری قوی آزمایشگاهی فرونده، در حیوان موش مورد مطالعه واقع شد.

۲. مواد و روش ها

۲-۱. مواد

سنتز زن صناعی توسط شرکت Shinegene (چین) انجام شد. آنزیم های محدود کننده NdeI و XhoI از شرکت فرمانتاز (آمریکا) تهیه شدند. کونزوگه اسپی^۴، از شرکت سیگما (آمریکا) تهیه شد. برای تخلیص پروتئین نوترکیب از ستون Ni-NTA agarose resin استفاده شد که از شرکت Shinegene (چین) خریداری گردید. پلاسمید pET28a(+) از شرکت Novagen (آمریکا) تهیه گشت. سوس باکتری E.coli BL21(DE3) تهیه شده از شرکت Novagen (آمریکا) به عنوان میزبان بیانی مورد استفاده قرار گرفت.

۲-۲. بیان و تخلیص پروتئین نوترکیب در مقیاس آزمایشگاهی

به منظور تهیه مقداری زیاد پروتئین نوترکیب به کشت میزبان E.coli-BL21 (DE3) که حاوی وکتور pET28a(+) همراه با زن صناعی مورد نظر بود) در فلاسکهای دو لیتری اقدام شد. برای این

۱. مقدمه

نورو توکسین های بوتولینوم (BoNT) قوی ترین سوموم شناخته شده هستند که توسط گونه های مختلف کلستریدیوم بوتولینوم^۱ تولید می شوند و موجب سندروم بوتولیسم می شوند. هفت زیر گروه مختلف از BoNTs وجود دارد که با حروف A تا G مشخص می شوند و هر کدام از این زیر گروهها دارای خاصیت آنتیزنی و بیوشیمیابی متفاوت هستند. تمام این زیر گروهها آزاد شدن استیل کولین از پایانه های عصبی را مهار می کنند. توکسین های A, B, E, F در انسان بیماری زا بوده در حالی که انواع C و D در حیوانات بیماری ایجاد می کنند و تاکنون هیچ بیماری از نوع G گزارش نشده است [۱]. توکسین مذکور، ابتدا در سیتوزول باکتری به صورت یک پلی پپتید تک زنجیره ای و غیرفعال با وزن حدود ۱۵۰ کیلوالتون تولید می شود. سپس پروتئازهایی که در سیتوزول باکتری وجود دارند، پلی پپتید را شکسته و به صورت دو زنجیره فعال درمی آورند که توسط یک باند دی سولفیدی به هم متصل شده اند (زنجیره سبک (L) و زنجیره سنگین (H) که به ترتیب ۵۰ و ۱۰۰ کیلو دالتون وزن دارند). زنجیره سنگین از دو ناحیه تشکیل شده است: ناحیه اتصالی^۲ (HC) و ناحیه انتقال دهنده^۳ (HN). ناحیه اتصال دهنده با تشخیص گیرنده های نورو توکسین در سطح سلول های عصبی (پروتئین SV2 و گانگلیوزید GTb1 در مورد تیپ E) و اتصال به آن، فرآیند اندوسیتوز وابسته به ریپتور را شروع کرده که در نهایت به کمک ناحیه انتقال دهنده، باعث انتقال زنجیره سبک، که یک اندوپتیدیاز وابسته به فلز روی (Zn⁺⁺) می باشد، به سیتوزول نورون های موتور در سیستم عصبی می شود. زنجیره سبک به پروتئین های خاصی در سلول های هدف حمله کرده و با شکستن آنها، باعث مهار ترشح استیل کولین و در نتیجه ایجاد فلچ عضلانی شده و بدین صورت خاصیت سمی خود را اعمال می کند [۲].

سالانه حدود ۱۰۰۰ مورد بوتولیسم ناشی از غذا در جهان گزارش می شود که تولید یک واکسن مناسب برای پیشگیری و درمان این بیماری ضروری به نظر می رسد [۳]. در حال حاضر واکسیناسیون علیه این باکتری به وسیله توکسین غیرفعال شده با فرمالدهید انجام می شود. اما استفاده از واکسن های توکسوئید دارای معایی است که تلاش برای ساخت واکسن های جدیدتر را توجیه می کند [۴]. در واکسن های جدید، از روش های مهندسی ژنتیک برای تولید واکسن استفاده می شود. برای تولید واکسن با استفاده از این روش ها معمولاً از توکسین کامل استفاده نمی شود، بلکه نواحی خاصی از توکسین که سیستم اینمی را به خوبی تحریک می کنند و علیه آنها مقادیر زیادی آنتی بادی تولید می شود را مورد هدف قرار می دهند. امروزه این نواحی به شکل نوترکیب تولید و مورد استفاده قرار می گیرد [۵].

¹ Clostridium Botulinum

² Binding Domain

³ Translocation Domain

⁴ Goat Anti- Horse IgG

پروتئین‌ها و نانوذرات آزاد از فیلتر آمیکون نمره ۵۰ کیلو دالتون با سرعت RPM ۵۰۰۰ در دمای ۴ درجه سانتی‌گراد به مدت ۱۵ دقیقه استفاده شد. جهت بررسی اتصال آنتی‌زن به نانوذرات طلا، نمونه‌های نهایی به فیلم میکروسکوپ الکترونی عبوری (TEM) با پوشش کربن اضافه شدند. در نهایت، با اورانیل استات ۱٪ به منظور افزایش تباین، تیمار شدند. سپس اجازه داده شد تا خشک شوند. توسط میکروسکوپ الکترونی مدل ZEISS EM900 در kV ۵۰ عکس برداری شدند (شکل ۴). با توجه به اینکه کونژوگه حاصل پایداری ندارد، بنابراین موقع انجام تزریقات می‌باشد انصال آنتی‌زن به نانوذرات طلا انجام گیرد. نانوذرات طلا به شکل پودر لیوفیلیزه و آنتی‌زن بوتولینوم به طور مجزا در دمای زیر ۲۰ درجه سانتی‌گراد، ماهها قابل نگهداری هستند.

۵-۲. تزریق نمونه‌های آنتی‌زن به موش

به منظور بررسی پاسخ اینمنی، مجموعاً از ۴۵ عدد موش سوری به عنوان آزمون و ۵ عدد به عنوان نمونه کنترل استفاده شد. سه گروه ۱۵ تایی برای سه گروه آزمون یعنی کونژوگه آنتی‌زن-نانوذرات طلا- یاور فرونده، آنتی‌زن-نانوذرات طلا و آنتی‌زن-یاور فرونده در نظر گرفته شد. تزریقات به گروه‌های موشی مطابق با جدول (۱) انجام گرفت. روش تزریق به حیوان زیر جلدی و حجم تزریق غلظت پروتئین، با روش برادرفورد، غلظت‌سنجی شدند. برای تعیین حجم ۱۰۰ میکرولیتر بود. ابتدا نمونه‌های آنتی‌زن غیر کونژوگه با نانوذره طلا با روش برادرفورد، غلظت‌سنجی شدند. برای تعیین تزریقات (جدول ۱) قرار گردید.

۶-۲. تعیین تیتر آنتی‌بادی به روش الیزای غیرمستقیم^۴

ابتدا، چاهک‌های پلیت ۹۶ خانه‌ای مخصوص ELISA با پروتئین نوترکیب غیرمزدوج پوشیده شد (در هر چاهک $2\ \mu\text{g}$ از آنتی‌زن با استفاده از بافر کوتینگ). سپس پلیت به مدت یک شب در دمای ۴°C قرار داده شد و چاهک‌ها ۴ بار با استفاده از PBST (بافر فسفات نمکی تونین ۲۰) شستشو داده شد و خشک گردید (شستشوی پلیت‌ها و خشک نمودن آنها در پایان هر مرحله انجام می‌شود)، از شیر خشک ۵٪ به منظور مسدود کننده فضاهای خالی چاهک‌ها استفاده گردید و پلیت به مدت یک ساعت در شیکر انکوباتور و دمای ۳۷°C گرم‌گذاری شد. سرم موش‌های هر گروه با رقت ۱:۱۰۰ به چاهک اول هر ستون اضافه و رقت‌های متواالی (ضریب ۱/۲) انجام گرفت و پلیت به مدت ۴۵ دقیقه در دمای ۳۷°C گرم‌گذاری شد. سپس کونژوگه موشی با دقت ۱٪ به هر یک از چاهک‌ها اضافه شد و پلیت به مدت ۴۵ دقیقه در دمای ۳۷°C سرمهای بافر سیترات فسفات، OPD، H_2O_2 ، سوبیسترا (حاوی بافر سیترات فسفات، ELISA با استفاده از دستگاه Reader خوانده شد [۱۸].

منظور، ابتدا پس از تهیه محیط‌های LB مایع با حجم ۳۰۰ میلی‌لیتر در داخل فلاسک‌های دو لیتری و افزودن کانامایسین با غلظت نهایی $25\ \mu\text{g}/\text{ml}$ ، عمل تلقیح از کشت‌های شبانه^۱ انجام گرفت. سپس با افزودن IPTG با غلظت یک میلی‌مولار، در OD $600\text{nm}=0.7$ ، عمل القاء انجام شد. پس از مدت ۱۸ ساعت گرم‌گذاری در دمای ۱۸ درجه سانتی‌گراد و هوادهی با سرعت ۱۵۰ rpm، سلول‌ها به کمک سانتریفیوژ در مدت زمان ۱۰ دقیقه و با سرعت ۴۰۰۰ rpm جمع‌آوری شدند. براساس پروتکل شرکت QIAGEN و تحت شرایط طبیعی (غیر دناتوره)، سلول‌ها با بافلر لیزکننده (حاوی ایمیدازول ۱۰ میلی‌مولار، PMSF یک میلی‌مولار، Tris-HCl ۱۰ میلی‌مولار، NaH_2Po_4 ۱۰۰ میلی‌مولار و pH = ۸ در دمای ۳۷ درجه سانتی‌گراد به مدت یک ساعت گرم‌گذاری شدند. سپس سلول‌ها از طریق فرآصوت^۲ (قدرت ۷۵ درصد ۴ سیکل: ۱۰ ثانیه سونیکاسیونو ۱۵ ثانیه در یخ) شکسته شدند و سلول‌های لیز شده در مدت ۱۵ دقیقه با سرعت ۱۴۰۰۰ rpm در دمای ۴ درجه سانتی‌گراد سانتریفیوژ شدند تا سلول‌های نشکسته، قطعات دیواره سلولی و دیگر اجزاء سلولی تنه‌نشین شده و محلول روی شفاف جدا شد. ناحیه اتصالی نوروتوكسین بوتولینوم تیپ E با استفاده از ستون کروماتوگرافی نیکل (Ni-NTA) از طریق روش طبیعی (غیر دناتوره) تخلیص گردید و نتایج آن با روش SDS-PAGE مورد مشاهده قرار گرفت [۱۷].

۳-۲. تأیید پروتئین نوترکیب با روش وسترن بلاط

بعد از تخلیص پروتئین نوترکیب با استفاده از ستون کروماتوگرافی Ni-NTA، به منظور تأیید پروتئین بیان شده روش لکه‌گذاری وسترن مورد استفاده قرار گرفت و از پروتئین BSA به عنوان کنترل منفی و از آنتی‌بادی پلی کلونال اسپی استاندارد علیه نوروتوكسین بوتولینوم تیپ E (شرکت مصنون دارو، ایران) با دقت ۱:۱۰۰۰۰ استفاده شد [۱۸].

۴-۲. اتصال پروتئین نوترکیب به نانوذره طلا و سنجش اتصال توسط TEM

طبق پروتکل شرکت سازنده (Nanoprobe, USA) ابتدا محلول نانوذره طلا که به صورت پودر قهوه‌ای رنگ است، در ۱ میلی‌لیتر آب بدون یون حل و ورتكس گردید. (نانوذرات مذکور دارای پوشش سطحی فعال شده با عامل مونو سولفو هیدروکسی سوکسین ایمید^۳ بوده و قادر است از طریق گروه‌های عاملی اسیدهای آمینه سرین و ترئونین به پروتئین متصل شود). سپس محلول پروتئین در بافر PBS به آن اضافه شد (غلظت نهایی پروتئین به منظور اتصال بهینه ۵ mg/ml تنظیم شد)، به مدت یک ساعت در دمای ۴ درجه سانتی‌گراد بهینه زده شد و سپس یک شب در دمای ۴ درجه سانتی‌گراد در یخچال نگهداری شد تا اتصال به خوبی انجام شود [۱۹]. برای حذف

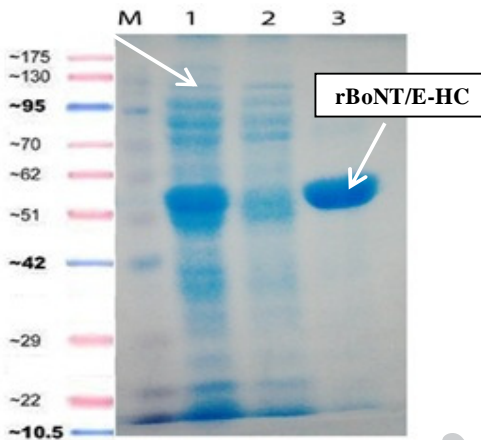
¹ Overnight

² Sonication

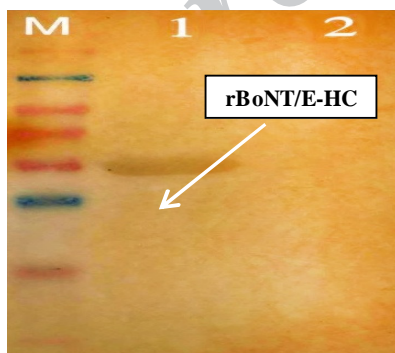
³ Mono-Sulfo-N-Hydroxy-Succinimid

جدول ۱. فوائل زمانی و مقادیر تزریق پروتئین نوترکیب کونژوگه به نانوذره طلا در مراحل ایمن سازی (Ag: آنتی زن، FA: یاور فرونده، GNP: نانوذره طلا)

		۴	۳	۲	۱
		Contorol	Ag-GNP-FA	Ag-GNP	Ag-FA
PBS (یاور کامل)	μg ۲۵ (یاور کامل)	μg ۲۵	μg ۲۵ (یاور کامل)	۱	اول
PBS (یاور ناقص)	μg ۱۵ (یاور ناقص)	μg ۱۵	μg ۱۵ (یاور ناقص)	۱۴	دوم
PBS (یاور ناقص)	μg ۱۰ (یاور ناقص)	μg ۱۰	μg ۱۰ (یاور ناقص)	۲۸	سوم
PBS (یاور ناقص)	μg ۱۰ (یاور ناقص)	μg ۱۰	μg ۱۰ (یاور ناقص)	۴۲	چهارم



شکل ۲. تصویر ۱۲٪ SDS-PAGE تخلیص پروتئین ناحیه اتصالی نورو توکسین بوتولینوم تیپ E با استفاده از ستون کروماتوگرافی Ni-NTA. ستون شماره ۱: سلول های القاء شده قبل از عبور از ستون را نشان می دهد و ستون های ۲ و ۳: به ترتیب بافر شستشو دارای ایمیدازول ۴۰ و ۲۵۰ میلی مولار را نشان می دهد و ستون M استانداردهای پروتئینی با اوزان مشخص می باشد.

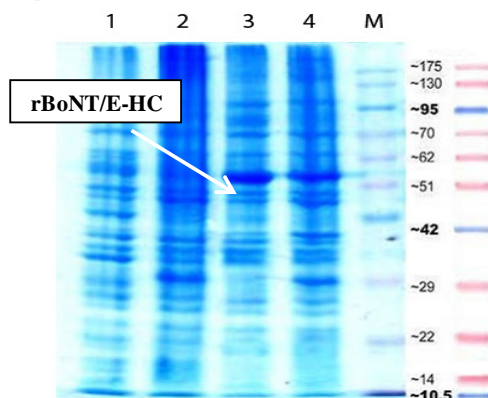


شکل ۳. تصویر وسترن بلات از پروتئین ناحیه اتصالی نورو توکسین بوتولینوم تیپ E. ستون ۱: پروتئین ناحیه اتصالی بوتولینوم تیپ E می باشد که به آنتی بادی استاندارد علیه BoNT/E واکنش نشان داده است و ستون ۲: پروتئین BSA می باشد که به آنتی بادی استاندارد علیه BoNT/E واکنش نشان نداده و ستون M استانداردهای پروتئینی با اوزان مشخص می باشد.

۳. نتایج و بحث

۳-۱. بیان و تخلیص پروتئین نوترکیب

بررسی بیان آنتی زن نوترکیب با الکتروفورز ۱۲٪ SDS-PAGE (شکل ۱)، نشان داد که آنتی زن مذکور با وزن مولکولی ۵۲ کیلو دالتون بیان گردیده است. نتایج تخلیص آنتی زن بیانی با استفاده از روش کروماتوگرافی تمایلی ستون نیکل نیز که در شکل (۲) آمده است، بیانگر تخلیص مناسب آن است.



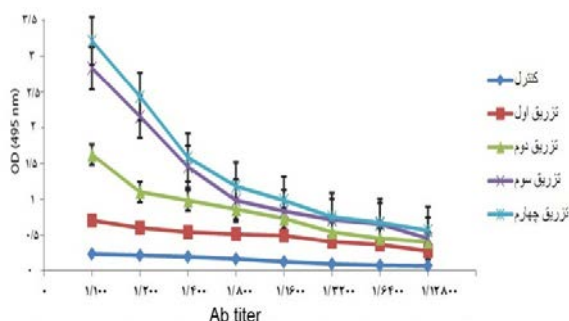
شکل ۱. تصویر ۱۲٪ SDS-PAGE بیان پروتئین ناحیه اتصالی بوتولینوم تیپ E. ستون شماره ۱: محلول رویی نمونه شاهد می باشد. ستون شماره ۲: رسوب عصاره سلولی نمونه شاهد، ستون شماره ۳: محلول رویی عصاره سلولی نمونه آزمون و ستون ۴: رسوب عصاره سلولی نمونه آزمون و ستون M استانداردهای پروتئینی با اوزان مشخص می باشد.

۳-۲. تأیید پروتئین نوترکیب با استفاده از روش لکه گذاری وسترن

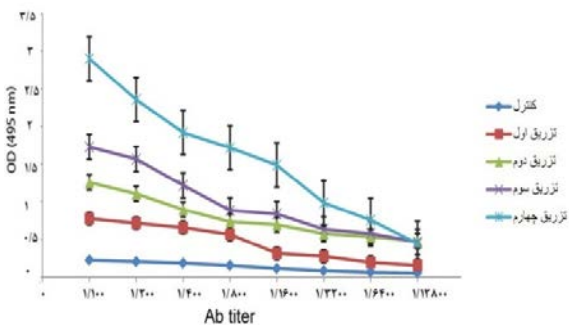
به منظور تأیید پروتئین نوترکیب، از روش وسترن بلات استفاده شد (بخش ۲-۲). از پروتئین آلبومین سرم گاوی (BSA) به عنوان کنترل منفی استفاده شد (شکل ۳).

جدول ۲. چالش موش‌ها با نوروتوكسین بوتولینوم تیپ E فعال شده (n/m: نسبت تعداد موش‌های زنده مانده به تعداد کل موش‌ها در هر گروه تیمار و کنترل، Ag: آنتی‌ژن، FA: یاور فرونوند، GNP: نانوذره طلا)

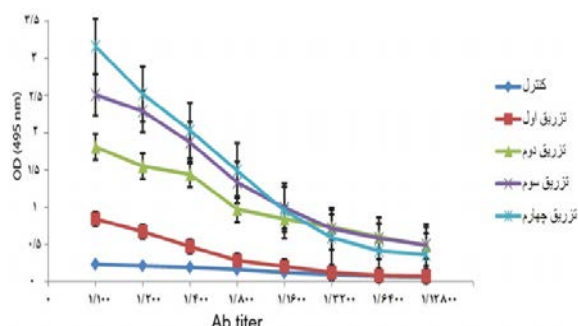
$10^5 \times LD_{50}$	$10^4 \times LD_{50}$	$10^3 \times LD_{50}$	Groups $\times LD_{50} / LD_{50}$
۰/۵	۰/۵	۳/۵	Ag-FA (۱)
۰/۵	۰/۵	۱/۵	Ag-GNP (۲)
۰/۵	۰/۵	۲/۵	Ag-GNP-FA (۳)
-	-	۰/۵	Control (۴)



شکل ۵. میانگین تیتر آنتی‌بادی بعد از هر بار تزریق (در گروه آنتی‌ژن-یاور فرونوند) نشان داده شده است.



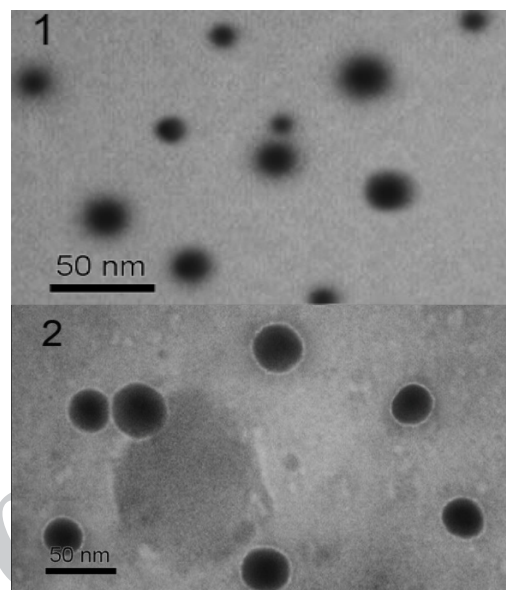
شکل ۶. میانگین تیتر آنتی‌بادی بعد از هر بار تزریق (در گروه آنتی‌ژن- نانوذره طلا) نشان داده شده است.



شکل ۷. میانگین تیتر آنتی‌بادی بعد از هر بار تزریق (در گروه آنتی‌ژن- نانوذره طلا- یاور فرونوند) نشان داده شده است.

۳-۳. سنجش و تأیید اتصال آنتی‌ژن به نانوذره طلا به کمک دستگاه TEM

به منظور تأیید اندازه ذرات و همچنین تأیید اتصال آنتی‌ژن به نانوذره طلا، نمونه‌ها پس از تیمارهای انجام گرفته در بخش ۲-۳ میکروسکوپ الکترونی TEM تصویربرداری شدند. همان‌طور که در شکل مشاهده می‌شود، اتصال به خوبی انجام شده است (شکل ۴).



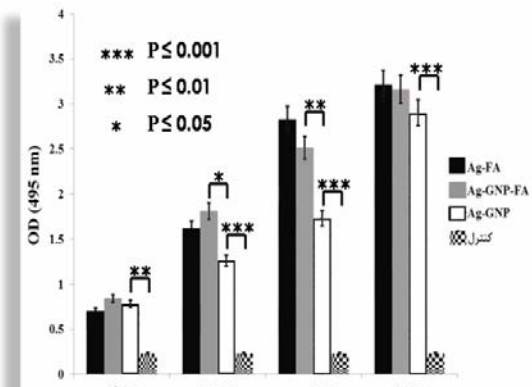
شکل ۴. میکروگراف الکترونی از نمونه اتصال آنتی‌ژن به نانوذره طلا. میکروگراف شماره ۱: نمونه نانوذره طلا قبل از اتصال و میکروگراف شماره ۲: نمونه نانوذره طلا بعد از اتصال آنتی‌ژن. همان‌طور که در شکل مشاهده می‌شود، اتصال آنتی‌ژن به نانوذرات به صورت هاله‌ای در اطراف ذرات دیده شود.

۴-۳. چالش موش‌های ایمن با نوروتوكسین فعال بوتولینوم تیپ E

به منظور بررسی میزان تحمل گروههای موشی ایمن شده با آنتی‌ژن‌های مورد استفاده، از محلول توکسین فعال تیپ E با $LD_{50} = 2 \times 10^5 mg/ml$ استفاده شد. گروههای ۱۵ تایی به سه زیر‌گروه ۵ تایی تقسیم و به هر زیر‌گروه به ترتیب با 10^3 ، 10^4 و 10^5 برابر LD_{50} از توکسین مورد چالش واقع شدند. حجم تزریق ۲۰۰ میکرولیتر و به صورت داخل صفاقی انجام شد. به طور کلی، آزمون چالش مطابق جدول (۲) ترتیب داده شد.

نمودارهای میانگین تیتر آنتی‌بادی بعد از هر بار تزریق در شکل‌های (۵-۷) و نمودار مقایسه‌ای تیتر آنتی‌بادی در گروههای مختلف در شکل (۸) آورده شده است.

- [4] Janice, M.; Rusnak, A.; Smith, L. "Botulinum neurotoxin Vaccines Past History and Recent Developments"; *Human Vaccines* 2009, 5, 794-805.
- [5] Smith, L. "Development of Recombinant Vaccines for Botulism Neurotoxin"; *Toxicon* 1998, 36, 1539-1548.
- [6] Baldwin, M.; Tepp, W.; Przedpelski, A.; Pier, C.; Bradshaw, M.; Johnson, E.; Barbieri, J. "Subunit Vaccine Against the Seven Serotype of Botulism"; *Infect. Immun.* 2008, 76, 1314-1318.
- [7] Dolicbek, B.; Steward, L.; Aoki, K.; Atassi, M. "Immune Recognition of Botulinum Neurotoxin B: Antibody-Binding Region on the Heavy Chain of the Toxin"; *Mol. Immunol.* 2007, 45, 910-24.
- [8] Baldwin, M.; Tepp, W.; Pier, C.; Bradshaw, M.; Hao, M.; Wilson, B.; Fritz, R.; Johnson, E.; Barbieri, J. "Characterization of the Antibody Response to the Receptor Binding Domain of Botulinum Neurotoxin Serotypes A and E"; *Infect. Immun.* 2005, 73, 6998-7005.
- [9] Kalkanidis, M.; Pietersz, G. A.; Xiang Sue, D.; Mottram, P. L.; Crimeen-Irwin, B.; Ardiapradja, K.; Plebanski, M. "Methods for Nano-Particle Based Vaccine Formulation and Evaluation of Their Immunogenicity"; *Methods* 2006, 40, 20-29.
- [10] Huang, Y.; Yu, F.; Park, Y. S.; Wang, J.; Shin, M. C.; Chung, H. S.; Yang, V. C. "Co-Administration of Protein Drugs with Gold Nanoparticles to Enable Percutaneous Delivery"; *Biomaterials* 2010, 31, 9086-91.
- [11] Forestier, J.; Calais, R. "Gold Salts in Rheumatology; What One Should Do and Not Do"; *Concours Med.* 1954, 76, 1162-1166.
- [12] Pavelic, K.; Hadzija, M.; Bedrica, L.; Pavelic, J.; Dikic, I.; Katic, M.; Kralj, M.; Bosnar, M. H.; Kapitanovic, S.; Poljak-Blazi, M.; Krizanac, S.; Stojkovic, R.; Jurin, M.; Subotic, B.; Colic, M. "Natural Zeolite Clinoptilolite: New Adjuvant in Anticancer Therapy"; *Mol. Med.* 2001, 78, 708-720.
- [13] Kogan, M. J.; Olmedo, I.; Hosta, L.; Guerrero, A. R.; Cruz, L. J.; Albericio, F. "Peptides and Metallic Nanoparticles for Biomedical Applications"; *Nano Med.* 2007, 2, 287-306.
- [14] Neus, G.; Ester, Sánchez-T.; Silvia, P. "Peptides Conjugated to Gold Nanoparticles Induce Macrophage Activation"; *Mol. Immunol.* 2009, 46, 743-748.
- [15] Epple, M.; Kovtun, A. "Functionalized Calcium Phosphate Nanoparticles for Biomedical Application"; *Key Eng. Mater.* 2010, 441, 299-305.
- [16] Parween, Sh.; Gupta, P. K.; Chauhan, V. S. "Induction of humoral Immune Response Against PfMSP-1₁₉ and PvMSP-1₁₉ Using Gold Nanoparticles Along with Alum"; *Vaccine* 2011, 29, 2451-2460.
- [17] Ralph, R. "The Nucleic Acid Protocols Hand Book"; Humana Press, ISBN: 978-0-89603-459-4 14, 2000.
- [18] Bollag, D. "Protein Methods"; Wiley-LISS, 1992, 45-160.
- [19] "Mono-Sulfo-N-Hydroxy-Succinimido Nanogold Labeling Reagent Protocol"; Nanoprobe 2010, 2025A, 1-3, <http://www.nanoprobe.com/instruction>.
- [20] Nixon, D. F.; Hioe, C.; Chen, P. D.; Bian, Z.; Kuebler, P.; Li, M. L. "Synthetic Peptides Entrapped in Microparticles Can Elicit Cytotoxic T Cell Activity"; *Vaccine* 1996, 14, 1523-1530.
- [21] Bartus, R.; Tracy, M.; Emerich, D.; Zale, S. "Sustained Delivery of Proteins for Novel Therapeutic Agents"; *Sci.* 1998, 281, 1161.
- [22] Zelphati, O.; Nguyen, C.; Ferrari, M.; Felgner, J.; Tsai, Y.; Felgner, P. L. "Stable and Mono Disperse Lipoplex Formulations for Gene Delivery"; *Gene Ther.* 1998, 5, 1272-1282.



شکل ۸. نمودار مقایسه‌ای تیتر آنتی‌بادی (غلطت ۱/۱۰۰ در گروه‌های مختلف تیمار و کنترل (Ag: آنتی‌زن، FA: یاور فرونده، GNP: نانوذره طلا).

نتایج آزمایش الیزا نشان داد که در هر مرحله، تیتر آنتی‌بادی به صورت تصاعدی افزایش یافته و این بیانگر تحریک مناسب سیستم ایمنی توسط کونژوگه نانوذرات طلا-پروتئین نوترکیب است. طبق نتایج آماری اختلاف معنی‌داری در نتایج دو گروه نتایج زیادی را در سه گروه مورد آزمایش نشان نداد (جدول ۲).

۴. نتیجه‌گیری

با توجه به اینکه نتایج حاصل از تیتر آنتی‌بادی در پاسخ به نمونه آنتی‌زن-نانوذره طلا و تیتر آنتی‌بادی در پاسخ به نمونه آنتی‌زن-یاور فرونده بسیار نزدیک به هم هستند، بنابراین نتیجه به دست آمده، خاصیت یاوری نانوذره طلا را تأیید می‌کند. اگر چه تاکنون استفاده از آن به عنوان یاور گزارش نشده، ولی با توجه به اینکه نانوذرات طلا در مواردی دیگری برای مصارف انسانی به کار گرفته شده‌اند، می‌توان چشم‌اندازی از کاربرد این نانوذرات را به عنوان یاور واکسن ارائه داد.

۵. مراجع

- [1] Gimenez, D. F.; Ciccarelli, A. S. "Another Type of Clostridium Botulinum"; *Zentral Blatt Bacteriol Mikrobiol Hyg.* 1970, 215, 221-224.
- [2] Montecucco, C.; Schiavo, G. "Mechanism of Action of Tetanus and Botulinum Neurotoxins"; *Mol. Microbiol.* 1994, 13, 1-8.
- [3] Zaharaie, S. M.; Pourshafee, M. R.; Afsharie Naghadeh, M. T.; Aghelie, N. "The Epidemiological Feature of Botulism Syndrom in Iran"; *Quaternary Journal of Tropical and Infectious Diseases* 1384, 41, 13-16. (In Persian).